Е.С.Калинина аспирант, Н.В.Позднякова* научный сотрудник, Д.А.Корженевский* научный сотрудник, Н.Б.Фельдман* научный сотрудник, С.В.Луценко* зав. лабораторией, В.И. Швец академик РАМН кафедра Биотехнологии МИТХТ им. М.В. Ломоносова

ВЫДЕЛЕНИЕ И ИЗУЧЕНИЕ БИОЛОГИЧЕСКИХ СВОЙСТВ РЕКОМБИНАНТНОГО ЧЕЛОВЕЧЕСКОГО ЭНДОСТАТИНА

УДК 575.116.12

азработана оригинальная методика выделения рекомбинантного эндостатина человека из культуры клеток штамма-продуцента Е. coli. Получена липосомная форма эндостатина и исследована ее цитотоксическая активность in vitro и противоопухолевая активность in vivo

*Московский НИИ медицинской экологии

Введение

Более четверти века назал было постулировано, рост раковых что образований возможен только при условии возникновения в самой опухоли сети кровеносных сосудов [1]. На основе этого предположения возникло направление борьбы co злокачественным ростом, основанное на применении препаратов, специфически способных подавлять ангиогенез опухоли, и, как следствие, ее рост. Поиск таких антиангиогенных веществ привел к открытию в 1994 году первого ингибитора эндогенного ангиогенеза. названного ангиостатином [2]. Вскоре были выделены эндостатин [3], фрагменты 1 и 2 протромбина [4], расщепленный антитромбин III [5], фрагменты фибрина/фибриногена [6] и многие другие фрагменты физиологических полипептидов, также способные ингибировать ангиогенез.

Эндостатин, впервые выделенный из супернатанта клеточной линии гемангиоэндотелиомы мышей, представляет собой С-концевой фрагмент

коллагена XVIII с молекулярной массой 20 kDa.. Эндостатин был клонирован и экспрессирован как в прокариотической системе E. coli, так и в эукариотической дрожжевой системе [3, 7]. Исследования животных показали, на рекомбинантный эндостатин способен подавлять рост различных мышиных и трансплантированных мышам человеческих опухолей [8,9]. получение Однако рекомбинантного эндостатина в растворимой форме, пригодной для использования в клинической практике, представляет собой трудно разрешимую проблему. Целью настоящей работы являлась разработка протокола выделения растворимой формы эндостатина из биомассы продуцента Escherichia coli. получение a также липосомной формы ланного белка и исследование биологической активности.

Материалы и методы

Получение телеи включения из биомассы итамма-продуцента E. coli. Осадок клеток продуцента был получен центрифугированием культуры при 2500 g 4°C В течение 10 мин. Осадок ресуспендировали в буфере для обработки ультразвуком [0,1 M Tris-HCl, pH 8.0], затем прибавляли лизоцим до конечной концентрации 50 мкг/мл и инкубировали комнатной температуре 30 мин. обработке Суспензию подвергали

ультразвуком в присутствии 0,1% натрия деоксихолата, затем центрифугировали при 10 g в течение 10 мин. Процедуру обработки препарата ультразвуком повторяли еще дважды. Полученные в результате тельца включения хранились при -20°C и использовались для дальнейших манипуляций.

Солюбилизация телец включения ренатурация эндостатина. Осадок телец включения растворяли В буфере [0,1 М Tris -HCl, pH 8.0, 6 М мочевина] и инкубировали 30 мин при 4°C, после чего центрифугировали при 13 400 g и 7°C в течение 15 мин. Супернатант разводили в буфере [0,1 M Tris-HCl, рН 8.0. мочевина, 1% D-маннитол] до концентрации эндостатина около 0.02 мг/млдиализовали против 200 объемов буфера [0,1 М Tris-HCl, рН 8.0, 1 М мочевина, 1% D-маннитол, 1 мМ GSSG, 5 мМ GSH] в суток. Центрифугировали течение диализат при 13 400 g и 7°C в течение 15 мин. Супернатант диализовали против 200 объемов буфера [0,1 M Tris-HCl, pH 8.0] в течение суток. Центрифугировали диализат при 13 400 g и 7°C в течение 15 Супернатант анализировали при помощи SDS-PAGE с использованием стандартного протокола [10]. Определение содержания свободных SH- групп проводили Эллмана с использованием методу стандартного протокола [10].

Получение липосомной формы эндостатина осуществляли с использованием стандартного протокола [11].

Исследование цитомоксической активности (ЦТА) эндостатина in vitro проводили, определяя выживаемость клеток после их инкубации с исследуемым препаратом в течение 72 ч с помощью МТТ-теста по методике [12].

Исследование противоопухолевой активности эндостатина и его липосомной формы проводили на мышах линии C57BL/6 с привитыми опухолями мышиной B16. Опухолевые меланомы клетки трансплантировали подкожно в область спины животных (2×10^5) клеток в 0,1 мл физиологического раствора). Препараты эндостатина вводили животным начиная с 10-го лня после прививки опухоли. Терапию осуществляли в течение двух недель, вводя препараты через день в дозе 90 мг/кг веса животного. Размер солидных опухолей измеряли один раз в 2-3 дня. Объем опухоли вычисляли по формуле $V=a^2\cdot b\cdot \frac{\pi}{6}$, где a - короткий, b - длинный диаметр опухоли. Торможение роста опухолей (TPO) определяли по формуле: $TPO=\left(1-\frac{P_{on}}{P_{\kappa}}\right)\cdot 100\%$, где P_{on} — средний размер опухолей в опытной группе, P_{κ} — средний

размер опухолей в опытной группе, P_{κ} — средний размер опухолей у контрольных животных. Увеличение средней продолжительности жизни (УСПЖ) леченых животных относительно контрольных определяли по формуле: $VC\Pi\mathcal{K} = \left(\frac{T}{C} - 1\right) \cdot 100\%$, где T — средняя

продолжительность жизни (СПЖ) леченых животных, дни, C - СПЖ контрольных животных, дни.

Результаты и их обсуждение

Согласно протоколу, представленному в данной работе, выход растворимого рекомбинантного эндостатина составил около 15 мг из 1 л культуры. Конечный диализат не содержал видимых частиц и стабильно хранился при 4°C, не меняя своих свойств после замораживания при -20°C или лиофильного высушивания. Преципитат агрегированного белка образовывался при удалении редокс-пары глутатиона в ходе эксперимента, что также 0 стабильности полученного говорит препарата эндостатина. Препарат проверяли на наличие высокомолекулярных агрегатов с сравнительного помощью SDSэлектрофореза в восстанавливающих и невосстанавливающих условиях присутствии и без β-меркаптоэтанола) Генетическая (рис. 1). конструкция, использованная данной работе, позволяет достичь высокого **VDOBHЯ** экспрессии эндостатина. Однако, как и многие другие рекомбинантные белки, эндостатин в прокариотической системе E. coli синтезируется в виде агрегатов, которые формируют тельца включения. Правильно свернутый эндостатин имеет глобулярную компактную структуру, стабилизированную двумя дисульфидными связями [13].

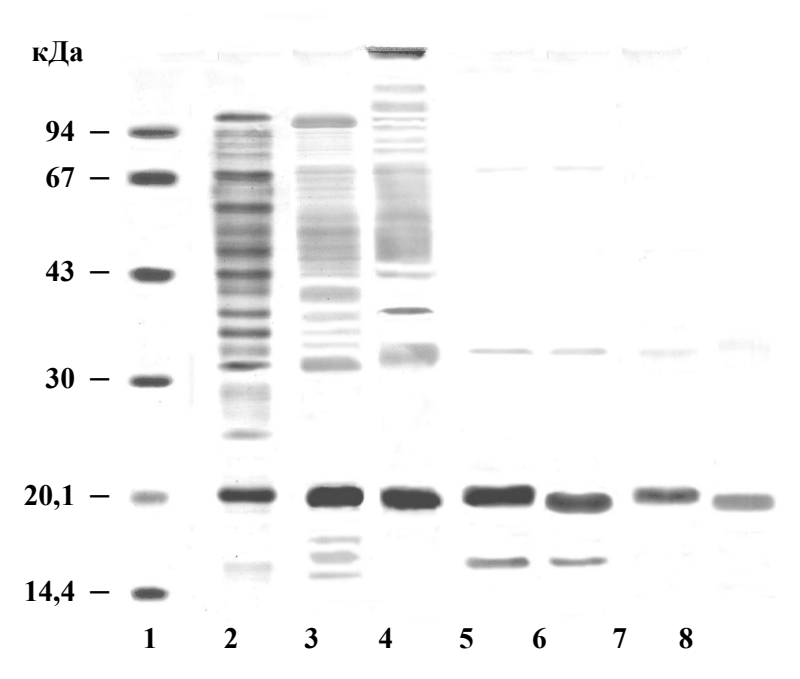


Рис. 1. Электрофорез препаратов эндостатина на различных стадиях выделения. 1 — стандарты молекулярной массы; 2 — биомасса штамма-продуцента; 3, 4 — препарат телец включения; 5, 6 — препарат эндостатина после стадии ренатурации; 7, 8 — конечный препарат эндостатина. Дорожки 2, 3, 5, 7 — в присутствии β-меркаптоэтанола; 4, 6, 8 — в отсутствии β-меркаптоэтанола

Анализ по методу Эллмана показал, что в тельцах включения после ИΧ 98% солюбилизации содержится свободных SH-групп, в то время как SH-группы свободные В конечном диализате практически отсутствуют. результаты, а также стабильность полученного раствора эндостатина, позволяют сделать вывод о правильной ренатурации белка в условиях используемого протокола. Чистота полученного препарата эндостатина составляла > 98% по данным электрофореза (рис. 1, дорожка 8). Стабильность препарата позволяет использовать его для дальнейших лабораторных исследований, а также дает

возможность получения препарата растворимого эндостатина в больших количествах.

Исследование специфической биологической активности эндостатина in vitro проводили культурах на эндотелиальных клеток аорты быка АВАЕ, эндотелиальных клеток лимфатических сосудов мыши SVEC4-10, а также на первичной культуре эндотелиальных клеток пупочной вены человека (HUVEC). Результаты исследования приведены на рис. 2. Как видно на рис. 2, эндостатин оказывал дозозависимое цитотоксическое действие на все три типа исследовавшихся эндотелиальных клеток.

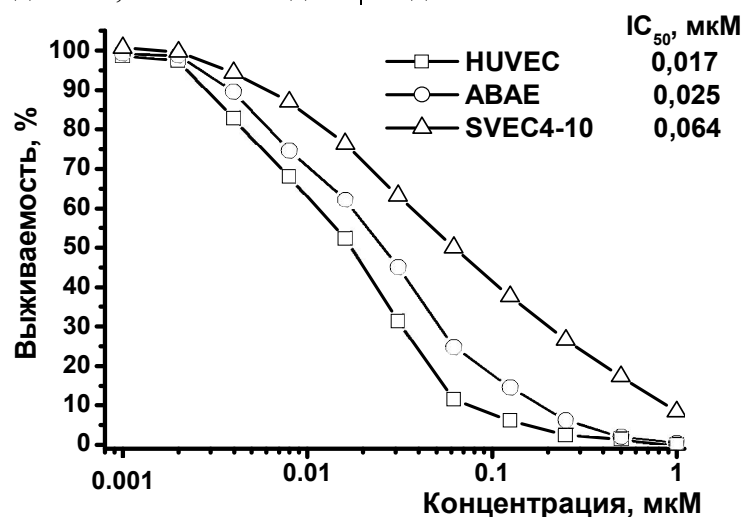


Рис. 2. ЦТА эндостатина в отношении эндотелиальных клеток линий HUVEC, ABAE и SVEC4-10.

При этом наибольший цитотоксический эффект достигался в отношении линии эндотелиоцитов пупочной вены человека HUVEC ($IC_{50}=0,017$ мкМ). Очень близкую ЦТА эндостатин проявлял в отношении клеточной линии ABAE ($IC_{50}=0,025$ мкМ). Таким образом, полученный белок проявляет выраженную антиангиогенную активность в отношении различных линий эндотелиальных клеток, что характеризует его в качестве эффективного антиангиогенного агента.

Для получения липосомной формы эндостатина применяли метод экструзии. Липосомы получали vльтразвуковой оволецитинобработкой лисперсии холестерин-белок последующим c многократным продавливанием через ядерный поликарбонатный фильтр. Размер полученных липосом был строго фиксированным и составлял 100 нм. Поскольку капилляры, образовавшиеся в результате опухолевого неоангиогенеза, характеризуются наличием слое эндотелия большого количества пор размером до 800 нм, липосомы при циркуляции в кровотоке будут проникать преимущественно в солидные опухоли [14], обеспечивая направленный транспорт антиангиогенного препарата. Липосомный гомогенный эндостатин вводили парентерально мышам опухолями меланомы В16 один раз в неделю, при том, что курсовая противоопухолевая терапия эндостатином обоих случаях

предполагает значительно более частые инъекции препаратов: каждые 12 или 24 часа в течение ряда недель [15,16]. Однако применение липосомных форм полипептидных препаратов позволяет увеличить значительно время полужизни В организме и повысить терапевтическую эффективность. В нашем исследовании подтверждается это значительно большим ТРО у мышей, липосомную получавших форму эндостатина (68,6%, данные на 35 день после прививки опухоли) по сравнению с которым вводили мышами, водный (41,0%).раствор белка Терапия липосомной формой эндостатина также приводила к двукратному УСПЖ по сравнению с терапией нелипосомным препаратом (24,6% vs. 47,3%).

противоопухолевого Исследование эффекта липосомного эндостатина при его комбинированном применении доксорубицином показало, что введение препарата в режиме сочетанной терапии с доксорубицином приводило роста значительному подавлению 72,6%) опухолей (на увеличению И продолжительности жизни животных на 55,2%. При этом значения ТРО и УСПЖ превышали таковые ОТ монотерапии липосомным эндостатином. образом, введение в терапевтическую схему доксорубицина позволяет повысить существенно эффективность терапии липосомным эндостатином.

ЛИТЕРАТУРА:

- 1. Folkman J. Tumor angiogenesis: therapeutic implications. N. Engl. J. Med. 1971, 285, 1182-1186.
- 2. O'Reilly M.S., Holmgren L., Shing Y. et al. Cell 1994, 79, 315-328.
- 3. O'Reilly M.S., Boehm T., Shing Y. et al. Cell 1997, 88, 277-285.
- 4. Rhim T.Y., Park C.S., Kim E., Kim S.S. Biochem. Biophys. Res. Commun. 1998, 252, 513-516.
- 5. O'Reilly M.S., Pirie-Shepherd S., Lane W.S., Folkman J. Science 1999, 285, 1926-1928.
- 6. Broun N.J., Staton C.A., Rodgers G.R. et al. Br. J. Cancer 2002, 86, 1813-1816.
- 7. Dhanabal M., Ramchandran R., Volk R. et al. Cancer Res. 1999, 59, 189-197.
- 8. Sim B.K.L. Angiogenesis 1998, 2, 37-48.
- 9. Boehm T., Folkman J., Browder T., O'Reilly M.S. Nature (Lond.) 1997, 390, 404-407.
- 10. Sambrook J., Fritsch E.F., and Manniatis T. Molecular Cloning: A Laboratory Manual, 2nd ed. Cold Spring Harbor, NY: Cold Spring Harbor Laboratory Press, 1989.
- 11. MacDonald R.C., MacDonald R.I., Menco B.P. et al. Biochim. Biophys. Acta. 1991, 1061(2), 297-303.
 - 12. Mosmann T. J. Immunol. Meth. 1983, 65 (1-2), 55-63.
 - 13. Hohenester E., Sasaki T., Olsen B.R. and Timpl R. EMBO J. 1998, 17, 1656-1664.
 - 14. Allen T.M., Cullis P.R. Science 2004, 303, 1818-1822.
 - 15. Scappaticci F. A. J. Clin. Oncol. 2002, 20, 3906.
 - 16. Cao Y., Xue L. Semin. Thromb. Hemostas. 2004, 30(1), 83.